

Робототехнический комплекс обнаружения и локализации подводных источников шума*

С.А. Переселков, В.М. Кузькин, Ю.В. Матвиенко

Разработаны методы голографической обработки шумовых сигналов для обнаружения и локализации малогабаритных подводных беспилотных транспортных средств (БТС), обладающих низким уровнем шумоизлучения. Предложена методика применения для контроля подводной обстановки автономных необитаемых подводных аппаратов (АНПА) с малогабаритными антеннами из векторно-скалярных приемников (ВСП) на борту. Созданы облики АНПА-транспорта и АНПА-носителя с малогабаритной антенной из ВСП. Выполнены вычислительные и натурные эксперименты, проведена голографическая обработка экспериментальных данных. Предложена новая концепция построения роботизированной системы мониторинга подводной обстановки на основе голографической обработки. Обозначены перспективы развития голографической обработки для гидроакустических сигналов.

Ключевые слова: АНПА, голографическая обработка, ВСП, обнаружение, локализация, антенна, БТС.

*Работа выполнена при финансовой поддержке РФФИ (проект №19-29-06075).

Введение

Контроль подводной обстановки, направленный на предотвращение и отражение угрозы со стороны малогабаритных малошумных подводных БТС, является одной из важнейшей задач безопасности морского государства. В США, например, получила развитие интегрированная система освещения подводной обстановки IUSS (Integrated Undersea Surveillance System), объединяющая стационарные и мобильные комплексы гидроакустического наблюдения [1]. Насколько известно авторам, в России не существует подобной интегрированной системы.

В настоящее время для решения проблемы освещения подводной обстановки, наряду с традиционными подходами пассивной локации [2], получили развитие методы, основанные на согласованной со средой обработке гидроакустических сигналов (matched-field processing) [3, 4]. Они подразумевают использование многоэлементных приемных антенн и данных о трассе распространения, позволяющих рассчитывать модельную форму сигнала. Данные алгоритмы обработки сигналов достигли предельных возможностей и не позволяют решать современные задачи обнаружения и локализации малогабаритных малошумных источников. Это стимулирует разработку современных средств контроля подводной обстановки, ориентированных на новые технологии обработки шумовых сигналов и построения технических средств, обеспечивающих мобильное обнаружение и локализацию малогабаритных малошумных подводных БТС в заданной акватории.

В работе предложена и обоснована новая концепция построения роботизированной системы освещения подводной обстановки, основанная на голографической обработке принимаемых шумовых сигналов [5, 6]. Обработка позволяет с высокой помехоустойчивостью и малой чувствительностью к вариациям параметров океанического волновода решать комплексную задачу локализации: обнаружения, разрешения, пеленгования, определения радиальной скорости (проекция скорости источника в направлении приемника), удаления и глубины малошумного источника. Ключевой фактор концепции – использование группировки гибридных АНПА [7] с антеннами из ВСП [8] и средствами обработки. Намечены перспективы развития голографической обработки шумовых сигналов для решения задач обнаружения и локализации БТС в условиях пространственно-временной изменчивости океанической среды.

Голографическая обработка

Голографическая обработка шумоизлучения подводного аппара-



ПЕРЕСЕЛКОВ
Сергей Алексеевич
профессор,
Воронежский государствен-
ный университет



КУЗЬКИН
Венедикт Михайлович
Институт общей физики РАН



МАТВИЕНКО
Юрий Викторович
Институт проблем морских
технологий ДВО РАН

та с применением одиночного ВСП строится следующим образом [5]. За время наблюдения Δt в полосе Δf для временных интервалов длительностью $\delta t_1 = (\Delta t / J - \delta t_2)$ выполняется частотно-временная обработка принятого сигнала [9] с шагом по частоте $\delta f = 1 / \delta t_1$. Здесь J и δt_2 – число независимых временных шумовых реализаций и временной интервал между ними. Определяются текущие значения комплексных амплитуд звукового давления $P(f, t)$ и трех компонент $V_{x,y,z}(f, t)$ вектора колебательной скорости частиц среды. Вычисляются частотно-временные интерференционные картины (интерферограммы) энергетических параметров шумового поля. Например, интерферограммы квадрата модуля звукового давления $I(f, t)$ и горизонтальных составляющих потока мощности $X(f, t)$, $Y(f, t)$

$$\begin{aligned} I(f, t) &= P(f, t)P^*(f, t), X(f, t) = \\ &= V_x(f, t)P^*(f, t), Y(f, t) = V_y(f, t)P^*(f, t), \end{aligned} \quad (1)$$

где верхний индекс «*» обозначает комплексно-сопряженную величину.

К интерферограммам (1) применяется двумерное частотно-временное преобразование Фурье, и вычисляются голограммы $F_I(\tau, \nu)$, $F_X(\tau, \nu)$, $F_Y(\tau, \nu)$. Применительно к интерферограмме $X(f, t)$, например, голограмма имеет вид:

$$F_X(\tau, \nu) = \int_0^{\Delta \tau} \int_{f/2}^{f/2 + \Delta f} X(f, t) \exp[i2\pi(\nu t - f\tau)] df dt. \quad (2)$$

Здесь ν и τ – частота и время голограммы; $f_{1,2} = f_0 \pm (\Delta f / 2)$, f_0 – средняя частота спектра. На голограмме (2) спектральная плотность сигнала движущегося источника сконцентрирована в двух узких полосах, зеркально перевернутых относительно начала координат, в виде фокальных пятен, вызванных интерференцией мод разных номеров. Они размещены в первом и третьем квадрантах голограммы, если радиальная скорость источника $w < 0$ (источник приближается к приемнику), и во втором и четвертом квадрантах ($w > 0$), если источник уда-

ляется от приемника. При неподвижном или движущемся источнике с радиальной скоростью $w = 0$ координаты пиков фокальных пятен расположены на оси времени t . Область локализации содержит $(M - 1)$ главных максимумов с координатами (τ_μ, ν_μ) , расположенными на прямой $\nu = \varepsilon t$ с угловым коэффициентом $\varepsilon = v_\mu / \tau_\mu$, где M – число мод, формирующих поле, $\mu = 1, \overline{M-1}$ – номер фокального пятна. Ближайший к началу координат максимум первого фокального пятна, обусловленный интерференцией соседних мод, приходится на значения (τ_1, ν_1) . Координаты соседнего пика, вызванного интерференцией мод номеров $(m, m+2)$, расположены в точке (τ_2, ν_2) и т. д. И, наконец, координаты самого удаленного пика, продиктованного интерференцией первой и последней моды – (τ_{M-1}, ν_{M-1}) . В точках с координатами (τ_μ, ν_μ) суммируются $(M - \mu)$ главных максимумов. Помеха распределена по всей плоскости (τ, ν) голограммы.

При условии $r_0 \gg |w|\Delta t$, где r_0 – удаление источника от приемника в начальный момент времени $t = 0$, радиальная скорость и начальное удаление равны

$$\dot{w}_0 = -2\pi \kappa_{w\mu} \nu_\mu, \quad \dot{r}_0 = \kappa_{r\mu} \tau_\mu,$$

где $\kappa_{w\mu} = [\overline{h_{m(m+\mu)}(f_0)}]^{-1}$, $\kappa_{r\mu} = 2\pi [\overline{dh_{m(m+\mu)}(f_0)/df}]^{-1}$ – коэффициенты, определяющие пространственные и частотные масштабы изменчивости передаточной функции волновода [10].

Здесь $h_{mn} = h_m - h_n$, h_m – горизонтальное волновое число m -й моды. Восстановленные параметры источника и характеристики шумовых сигналов, в отличие от их истинных значений, отмечены точкой сверху. Черта сверху означает усреднение по номерам мод.

Спектральная плотность сигнала сосредоточена в полосе, ограниченной прямыми

$$\nu = \varepsilon t + \delta \nu, \quad \nu = \varepsilon t - \delta \nu,$$

где $\delta \nu = 1 / \Delta t$ – полуширина фокальных пятен в направлении оси частоты ν . Вне этой полосы спектральная плотность практически подавлена. В направлении оси времени t полуширина фокальных пятен $\delta \tau = 1 / \Delta f$.

Далее под входным отношением «сигнал–помеха» (с/п) q_0 понимается отношение уровня локализованного шума БТС к уровню распределенного шума акватории. В качестве критерия обнаружения источника принимается условие, согласно которому максимум функции углового распределения спектральной плотности (функции обнаружения) звукового давления при входном отношении с/п.

$$G_I(\chi, q_0) = \int_0^{\Delta \tau} |F_I(\tau, \chi \tau, q_0)| d\tau.$$

Значение функции обнаружения в направлении $\chi = \varepsilon$ расположения пиков фокальных пятен сигнала в два и более раз превышает помеховый уровень в направлениях $\chi \neq \varepsilon$

$$G_I[\varepsilon, q_0] \geq 2G_I(\chi, q_0). \quad (3)$$

Здесь Δt – линейный размер области концентрации по оси времени τ ; χ – варьируемое значение углового коэффициента при интегрировании вдоль прямых $v=\chi\tau$. За оценку ε принимается положение максимального пика $\max G_I(\chi) = G_I(\varepsilon)$.

Направление на источник, пеленг ϕ , оценивается по отношению максимумов функций обнаружения горизонтальных составляющих потоков мощности

$$\operatorname{tg}\phi(q_0) = \frac{G_Y(\varepsilon, q_0)}{G_X(\varepsilon, q_0)}. \quad (4)$$

Определение пеленга неоднозначно: значения ϕ , $\phi+\pi$, согласно (4), равнозначны. Области голограмм $F_X(\tau, \nu)$, $F_Y(\tau, \nu)$, $F_I(\tau, \nu)$ за пределами полосы концентрации спектральной плотности очищаются от помехи и выполняются обратные двумерные преобразования Фурье по восстановлению двумерных интерферограмм $\dot{X}(f, t)$, $\dot{Y}(f, t)$, $\dot{I}(f, t)$. Неоднозначность пеленга устраняется при рассмотрении в фиксированный момент времени t_* на частоте f_* отношений интерферограмм

$$\alpha_x = \frac{\dot{X}(f_*, t_*)}{\dot{I}(f_*, t_*)}, \quad \alpha_y = \frac{\dot{Y}(f_*, t_*)}{\dot{I}(f_*, t_*)}.$$

Если: а) $\alpha_x > 0$, $\alpha_y > 0$, то источник расположен в I-ом квадранте ВСП; б) $\alpha_x < 0$, $\alpha_y > 0$ – во II-м квадранте; в) $\alpha_x < 0$, $\alpha_y < 0$ – в III-м квадранте; г) $\alpha_x > 0$, $\alpha_y < 0$ – в IV-м квадранте.

По одной из восстановленных интерферограмм вычисляется огибающая сигнала и через отношение амплитуд соседних мод оценивается глубина источника; алгоритм разрешения нескольких шумовых источников изложен в [8]. Для решения задач обнаружения, пеленгования, восстановления глубины и разрешения знания о шумовом сигнале, помехе и передаточной функции волновода не требуются.

Отношение с/п q_1 на выходе голографической обработки оценивается как

$$\dot{q}_1 = J\gamma q_0,$$

где $\gamma = S_n / S_s$ – коэффициент концентрации, S_n и S_s – площади областей голограммы распределения спектральных плотностей помехи и сигнала [5].

На основе изложенных выше голографических подходов к обработке шумовых сигналов в проекте получены следующие результаты в рамках разработки методов обнаружения и локализации БТС, обладающих низким уровнем шумоизлучения.

Применительно к одиночному приемнику оценена минимальная длительность шумового сигнала, минимизирующая предельное входное отношение с/п q_0 , при котором сохраняется работоспособность голографической обработки

$$\min \delta t_1 = (5r/2\pi) |(dh_{1M}(f_0))/df|, \quad (5)$$

где r – расстояние между источником шума и приемником. Если длительность шумового сигнала $\delta t_1 < \min \delta t_1$, то искажается конфигурация спектральной плотности голограммы и увеличивается погрешность восстановления параметров шумового источника. В зависимости от входного отношения с/п q_0 и времени наблюдения Δt максимальная

дальность обнаружения источника оценивается как

$$r_{\max} = (2\pi/5) \sqrt{q_0/1.5} [\Delta t / |gh_{1M}(f_0)df|] \quad (6)$$

Значения $\min \delta t_1$ и r_{\max} определяются параметрами передаточной функции волновода. Оценки (5), (6) снабжены результатами численного моделирования.

Для горизонтально-однородных волноводов разработаны два варианта адаптивных алгоритмов голографической обработки определения радиальной скорости и удаления источника при малом входном отношении с/п в отсутствии информации о гидроакустических характеристиках океанической среды. Они строятся на основе измерений пеленга и частотных смещений интерференционных пиков между двумя горизонтально разнесенными приемниками. Тем самым расширяются возможности применения голографической обработки в тех случаях, которые не доступны для других известных методов обработки. В рамках численных экспериментов показана их эффективность.

Применительно к одиночному приемнику построена теория вероятностных характеристик обнаружения шумового сигнала по критерию Неймана – Пирсона. Получены выражения для кривых обнаружения, представляющие собой зависимость вероятности правильного обнаружения от отношения с/п при фиксированной вероятности ложной тревоги. Определены пороговые сигналы на выходе голографической обработки при наличии шумового сигнала источника и в его отсутствие. Для частных случаев результаты численного моделирования показаны на рис. 1.

На основе критерия (3) и данных о спектральных характеристиках шумового сигнала и фоновой помехи разработан алгоритм оценки предельной дальности обнаружения шумового источника одиночным ВСП. Сформулированы условия

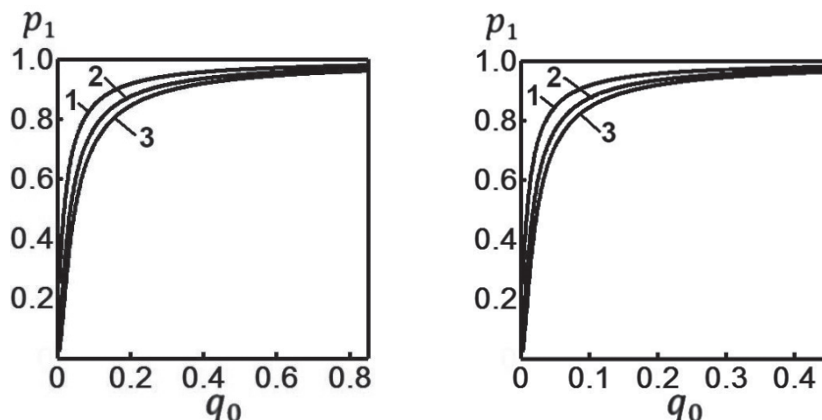


Рис. 1. Зависимость вероятности правильного обнаружения p_1 от входного отношения c/n q_0 для разных значений вероятности ложной тревоги p_2 ; а – $J=10$; б – $J=20$. Кривая 1 – $p_2=10^{-1}$, кривая 2 – $p_2=10^{-2}$, кривая 3 – $p_2=10^{-3}$. Коэффициент концентрации $\gamma=7$ [5].

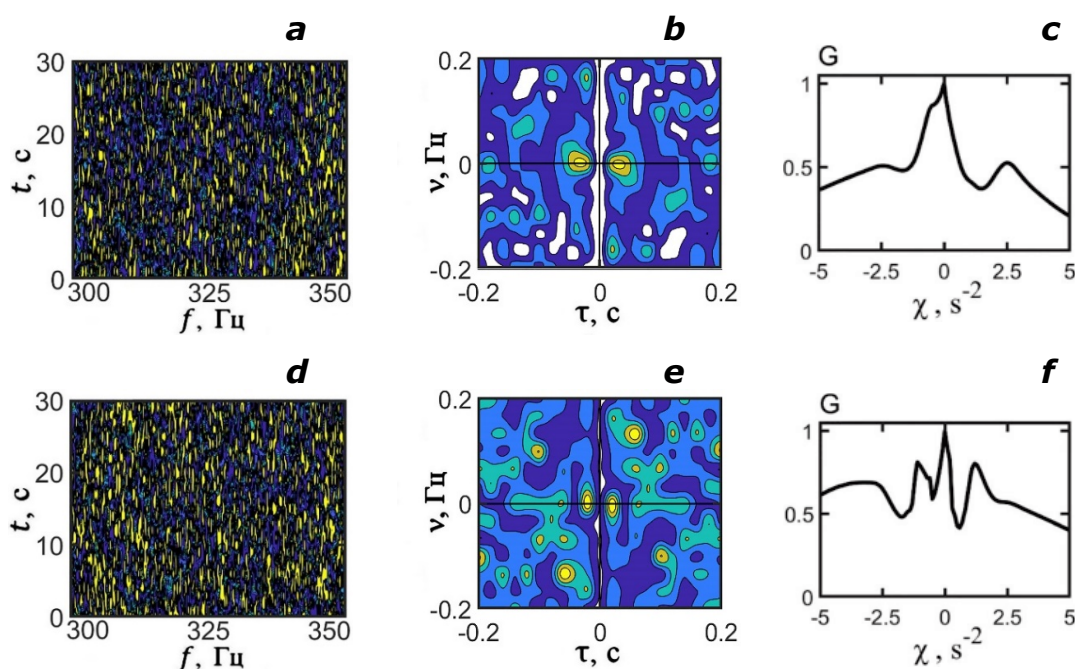


Рис. 2. Нормированные интерферограммы (а, d), голограммы (b, e) и функции обнаружения (c, f). Расстояния: (а, b, c) – 11.0 км, (d, e, f) – 11.5 км [5].

формирования неискаженной интерферограммы, которые накладывают ограничения на ширину полосы и время наблюдения в зависимости от расстояния, радиальной скорости и пространственно-частотных масштабов изменчивости передаточной функции волновода. На рис. 2, на основе данных численного моделирования звукового поля и экспериментальных данных спектров шумоизлучения АНПА и фонового шума в мелководной акватории глубиной 60 м [11], приведены результаты голографической обработки в полосе 300–350 Гц при скорости движения 2 м/с. Из рис. 2 c, f, согласно алгоритму (3), следует оценка максимальной

дальности обнаружения $r_{max}=11.0$ км. Это показывает, что N стационарных АНПА с одиночными ВСП на борту способны контролировать рубежную линию протяженностью $L=20N$ км. Оценка дальности отвечает входному отношению c/n $q_0=-10$ дБ и вероятностям правильного обнаружения $p_1=0.87, 0.82, 0.77$ при вероятностях ложной тревоги $p_2=0.1, 0.01, 0.001$. Взаимосвязь критерия дальности обнаружения с теорией обнаружения состоит в следующем. На основе критерия (3) определяется входное отношение c/n q_0 и для заданной вероятности ложной тревоги p_2 вычисляется вероятность правильного обнаружения p_1 .

Разработан голографический метод выделения мод и оценок их параметров (амплитуды, горизонтального волнового числа, модального коэффициента затухания и групповой скорости) в мелководных акваториях с использованием одиночного ВСП. Метод основан на двумерном частотно-временном преобразовании Фурье вещественной части амплитуды поля движущегося источника. На

выходе интегрального преобразования спектральная плотность концентрируется в форме фокальных пятен, отвечающих отдельным модам. Установлена связь между фазовыми и групповыми скоростями мод с координатами пиков фокальных пятен. Получены выражения, связывающие спектральную плотность голограмм с амплитудой и модальным коэффициентом затухания. Фильтрация фокальных пятен и применение к ним обратного двумерного преобразования Фурье восстанавливает поля выделенных мод. В рамках численного моделирования продемонстрирована погрешность восстановления параметров мод. Предлагаемый подход позволяет рассмотреть и объединить гораздо больший круг задач по выделению мод, нежели преобразование Вигнера [12] и оператор *time-warping* [13].

Разработана голографическая обработка шумового сигнала с применением линейных антенн. Установлена связь спектральной плотности голограммы, формируемой источником, с апертурой и угловой зависимостью принимаемого поля. Оценены коэффициент усиления, характеристика направленности антенны и помехоустойчивость голографической обработки. В зависимости от входного отношения с/п на элементе антенны получено выражение для максимального удаления шумового источника, при котором сохраняется устойчивое обнаружение и оценки параметров шумового источника близки к реальным значениям. По сравнению с одиночным приемником максимальная дальность обнаружения шумового источника (6) возрастает примерно в \sqrt{B} раз, где B – число элементов антенны. Представлены результаты численного моделирования.

Для линейных антенн на основе критерия Неймана – Пирсона построена теория вероятностных характеристик обнаружения шумового сигнала голографическим методом. Получены выражения для вероятности правильного обнаружения и ложной тревоги в зависимости от отношения с/п и числа элементов антенны. Приведены кривые обнаружения шумового сигнала. Введено понятие коэффициента результативности обнаружения: отношение вероятности правильного обнаружения с использованием антенны к вероятности правильного обнаружения с применением одиночного приемника при заданной вероятности ложной тревоги. Выигрыш в вероятностях правильного обнаружения между одиночным приемником и антенной сосредоточен преимущественно в области малых входных отношений с/п. С повышением числа элементов антенны B значение коэффициента результативности увеличивается. С возрастанием значений отношения с/п коэффициент результативности уменьшается и асимптотически стремится к единице. Выполнены численные расчеты.

Разработан и протестирован программно-алгоритмический комплекс автоматизированной системы обнаружения и определения параметров источника шума на основе голографической обработки его шумоизлучения. Тестирова-

ние проведено: в различных гидрологических условиях; в разной фоновой помеховой обстановке, на фоне интенсивных локализованных помех и в условиях отсутствия знания о передаточной функции среды. Результаты тестирования положительные и подтверждены пятью свидетельствами о государственной регистрации программ для ЭВМ и одним патентом.

Робототехнические средства

Для технической реализации решаемой проблемы предложено использовать робототехнические средства.

В работе предложена новая концепция построения роботизированной системы освещения подводной обстановки, основанная на голографической обработке принимаемых шумовых сигналов [5]. Ключевой фактор концепции – использование группировки гибридных АНПА, то есть классических АНПА, способных работать дополнительно в режиме подводного планера (глайдера) [7]. На борту каждого из них размещается малогабаритная приемная антенна из элементов ВСП [8] и средств обработки. Гибридный АНПА осуществляет индивидуальные маневры (курс, скорость и глубина) в соответствии с введенным и периодически корректируемым по каналам связи заданием, передаваемым с пункта управления. Информационный обмен между АНПА и пунктом управления обеспечивается средствами гидроакустической, радио- и спутниковой связи.

Группировка АНПА выставляется на заданную акваторию с установленной продолжительностью и размером контролируемой области. Группировка состоит из АНПА-транспорта и группы АНПА-носителя для приема шумовых сигналов. АНПА-транспорт обеспечивает старт с носителя и переход в точку назначенными координатами в подводном положении. Гибридные АНПА с антеннами из ВСП на борту рассредотачиваются по району акватории и с применением гологра-

фической обработки выполняют обнаружение и локализацию малозумных движущихся подводных БТС. При этом каждый АНПА-носитель осуществляет индивидуальные маневры в соответствии с введенным и периодически корректируемым по каналам связи заданием.

В области реализации мобильного робототехнического комплекса контроля подводной обстановки получены следующие важные результаты.

Разработана методика применения АНПА-транспорта с единичным ВСП на борту для обнаружения и локализации малозумных БТС, основанная на голографической обработке шумоизлучения источника.

Разработана методика применения АНПА-носителя с малогабаритной антенной из ВСП на борту для контроля подводной обстановки. Его отличительными особенностями являются два фактора. Первый фактор – в транспортном положении антенна встроена в корпус аппарата. Второй фактор – в рабочем положении антенна формируется из стационарной, встроеной в корпус АНПА, и выносной, связанной с АНПА гидроакустической линией связи. По отношению к АНПА-транспорту с одиночным ВСП повышается помехоустойчивость обработки примерно в B раз.

Предложен проект АНПА-транспорта, несущего на борту ВСП. Его особенностью является наличие системы управления плавучестью, формирующей минимальные положительные или отрицательные плавучести, позволяющие в режиме глайдера перемещаться под водой. Аппарат оснащен системами изменения плавучести и устойчивости, обеспечивающими возможность изменения его функций. Предлагаемая конфигурация наряду с обычными функциями АНПА обеспечивает возможность реализации режима подводного глайдера для выхода в заданный район патрулирования подводной обстановки, возможность реализации малозумной приемной гидроакустической станции с управ-

ляемым режимом движения по толще воды и режим радиобуа со средствами навигации и связи.

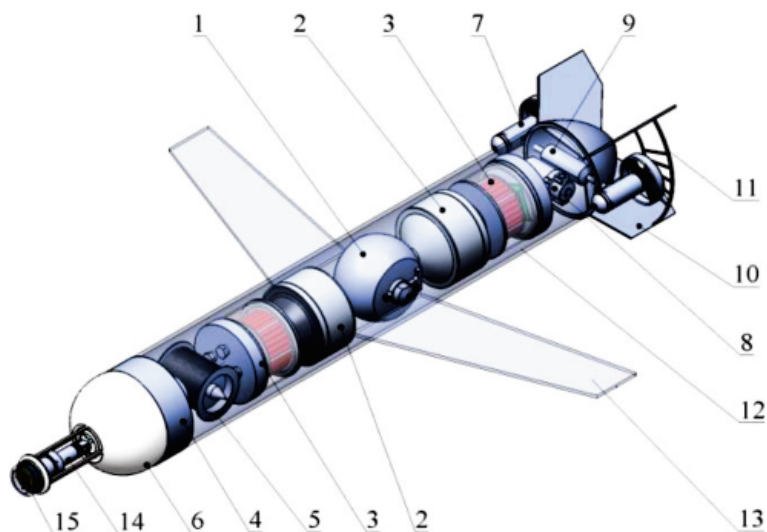


Рис. 3. Конструктивный облик гибридного АНПА контроля подводной обстановки: 1 – система регулирования момента устойчивости; 2 – система регулирования плавучести; 3 – блок электроники и аккумуляторных батарей; 4 – улавливающее устройство для выпускаемого модуля ВСП; 5 – устройство выдачи/приема выпускаемого модуля ВСП; 6 – выпускаемый модуль ВСП; 7 – маршевый двигатель; 8 – блок управления привода поворота маршевых двигателей; 9 – привод поворота маршевых двигателей; 10 – стабилизатор; 11 – защита двигателей; 12 – каркас-обтекатель аппарата; 13 – крыло; 14 – антенны радиосвязи; 15 – приемник спутниковой навигационной системы.

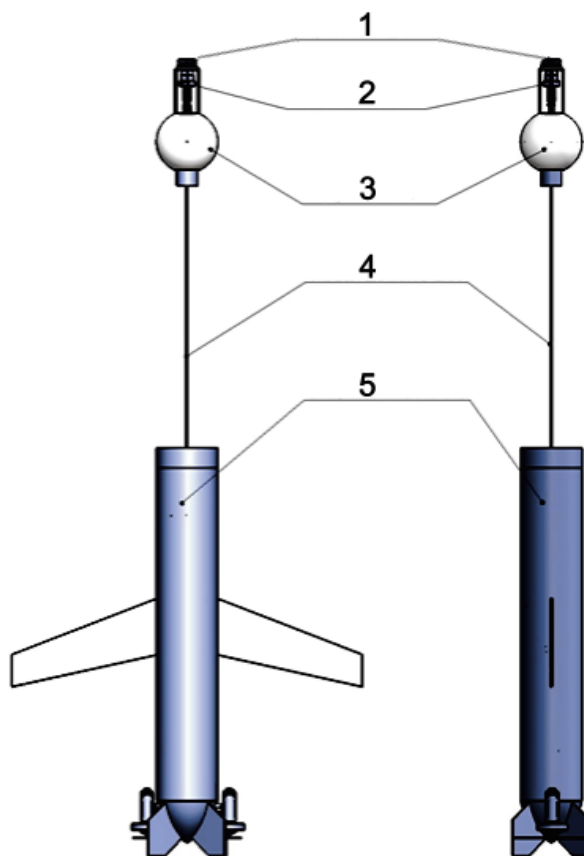


Рис. 4. Конструктивный облик гибридного АНПА в режиме приемной станции: 1 – приемник спутниковой навигационной системы; 2 – антенны радиосвязи; 3 – всплывающий модуль ВСП; 4 – кабель связи ВСП; 5 – гибридный АНПА.

Таблица 1. Ориентировочные технические характеристики гибридного АНПА

Характеристика	Значение
Масса на воздухе, не более, кг	100
Размеры, не более: длина×ширина×высота, м	2.3×1.7×0.4
Предельная рабочая глубина, м	500
Энергоемкость системы энергообеспечения, Вт·ч	2·10 ²⁴
Максимальная скорость хода в режиме АНПА, не менее, м/с	2.0
Автономность хода в режиме АНПА на максимальной скорости, не менее, км	10
Скорость вертикального перемещения в режиме приемной станции, м/с	0.01–0.03
Максимальная скорость хода в режиме глайдера, м/с	0.35
Автономность хода в режиме глайдера, не менее, месяцев (суммарная дальность горизонтального хода – не менее 1 500 км)	2

Предлагаемый проект гибридного АНПА развивает идеи, заложенные при создании АНПА [7], и отличается возможностями решения задач назначения на борту аппарата в реальном времени, порядком формирования функционального облика и доставки результатов в пункт управления. Изображение предлагаемого аппарата приведено на *рис. 3*, его вид в режиме приемной станции с выпущенным модулем ВСП показан на *рис. 4*, а основные характеристики сведены в *табл. 1*.

Натурные и численные эксперименты

В данном разделе изложены результаты вычислительных и натурных экспериментов, выполненных в рамках проекта.

На стационарной трассе по данным натурного эксперимента (SWARM-95) [14] и численного моделирования в частотном диапазоне 40–620 Гц проанализирована устойчивость голографической обработки широкополосного сигнала на фоне интенсивных внутренних волн (ИВВ), вызывающих горизонтальную рефракцию и взаимодействие мод звукового поля. Экспериментально реконструирована передаточная функция невозмущенного волновода. Разработан алгоритм передачи неискаженного модуля спектра источника при наличии гидродинамических возмущений среды распространения.

Проведены эксперименты в морских заливах с применением приемных систем из ВСП. Реализованы трассы различных геометрических конфигураций. На основе голографической обработки выполнено обнаружение малогабаритного БТС и определение пеленга, радиальной скорости и удаленности. Обработка реализована в частотном диапазоне несколько сот герц.

В рамках численного эксперимента в частотном диапазоне несколько сот герц продемонстрирована устойчивость работы АНПА-носителя с малогабаритной антенной из ВСП на борту по отношению к ИВВ, приводящих к горизонтальной рефракции и взаимодействию мод звукового поля источника. Использование малогабаритных антенн уменьшает относительную ошибку восстановления интерферограммы невозмущенного поля, что объясняется пространственным усреднением возмущения по элементам антенны.

В мелководной акватории Черноморского побережья на фоне интенсивного надводного судоходства проведен эксперимент по обнаружению и идентификации малоразмерного БТС гидроакустической системой из разнесенных в пространстве трех ВСП [15]. Голографическая обработка осуществлена в частотном диапазоне 0.7–1.7 кГц. Подводный аппарат обнаружился и локализовался на всех дальностях, которые были заданы условиями проведения эксперимента. Определены пеленги и траектории движения. При движении БТС входное отношение с/п изменялось в пределах от –11 дБ до 9 дБ.

В мелководной акватории Тихоокеанского побережья выполнены измерения спектра шумоизлучения БТС в частотном диапазоне от 50 до 1 000 Гц для дальней зоны аппарата [11]. Спектральные уровни звукового давления зарегистрированы при различных режимах и условиях движения. Спектральные характеристики в дальней зоне позволяют получить реалистические оценки дальности обнаружения аппарата в широком диапазоне частот при разных режимах работы и скоростях движения, и, как следствие, оценить размер контролируемой зоны исследуемой акватории.

Выполнены численные эксперименты по апробации голографического метода выделения мод в мелководной акватории на фоне ИВВ, обуславливающих горизонтальную рефракцию и взаимодействие волн поля источника. Рассмотрены случаи неподвижного и движущегося источника. В обоих случаях не происходит потеря идентичности параметров мод: моды выделяются, их параметры восстанавливаются. Определены вариации амплитуд, фазовых и групповых скоростей мод. Групповые скорости мод обнаруживают весьма слабую чувствительность к влиянию ИВВ.

Заключение

Таким образом, в выполненном проекте разработаны методы голографической обработки шумовых сигналов

для обнаружения и локализации малогабаритных подводных БТС, обладающих низким уровнем шумоизлучения. В рамках разработанных голографических методов установлены простые и явные связи между восстанавливаемыми параметрами подводного источника шума и спектральной плотностью голограммы по разным каналам ВСП.

Предложена новая концепция построения роботизированной системы освещения подводной обстановки, основанная на голографической обработке принимаемых шумовых сигналов. Ключевой фактор концепции – использование группировки гибридных АНПА, то есть классических АНПА, способных работать дополнительно в режиме подводного планера (глайдера). На борту каждого из них размещается малогабаритная приемная антенна из элементов ВСП и средств голографической обработки.

В рамках численных и натуральных экспериментов протестированы теоретические положения голографической обработки обнаружения и локализации малошумных малогабаритных источников. Полученные результаты подтверждают эффективность предложенных голографических подходов для контроля подводной обстановки с применением приемных систем из ВСП.

Что же касается перспективности развития данного направления, то важно обозначить следующие области исследований.

Во-первых, разработка и апробация адаптивных алгоритмов го-

лографической обработки шумовых сигналов для обнаружения и локализации малошумных источников в условиях пространственно-временной изменчивости характеристик среды распространения. Тем самым будет открыта возможность восстановления параметров шумовых подводных источников посредством наблюдаемых величин, то есть величин, которые могут быть непосредственно измерены в условиях малого входного отношения с/п, не требующих знания о передаточной функции волновода.

Во-вторых, обобщение голографической обработки шумовых сигналов на случай мелководной акватории с неоднородной батиметрией. Оценка погрешности восстановления параметров малошумных подводных источников. Проведение экспериментальной верификации алгоритма обработки. В результате существенно расширяется круг задач по контролю подводной обстановки в условиях пространственно-временной изменчивости характеристик среды распространения, вообще поддающихся решению.

В-третьих, построение многомерных алгоритмов $(H + 2)D$ голографической обработки шумовых сигналов, принимаемых антеннами из ВСП, позволяющих повысить помехоустойчивость при работе в широкой полосе частот. Здесь H – число параметров, характеризующих расположение элементов антенны в пространстве. Например, если элементы антенны расположены на прямой линии, то $H=1$, если расположены на плоскости, то $H=2$. Предложенная выше голографическая обработка шумового сигнала с применением линейных антенн не позволяет реализовать помехоустойчивую обработку в широком диапазоне частот.

В-четвертых, оценка шумового портрета малогабаритного АНПА, то есть определение мощности излучения в заданном частотном диапазоне. Решение поставленной задачи возможно в результате объединения голографической обработки с кепстральным методом выделения сигналов.

По результатам, полученным в проекте, подготовлена монография [6].

В настоящее время коллектив авторов продолжает совместные научно-исследовательские работы в рамках проекта, поддержанного Российским научным фондом №23-61-10024, rscf.ru/project/23-61-10024/.

Литература

1. *National Security Strategy*, USA, Washington, The White House, 2015, 29 pp. (https://obamawhitehouse.archives.gov/sites/default/files/docs/2015_national_security_strategy_2.pdf).
2. Ю.А. Корякин, С.А. Смирнов, Г.В. Яковлев
Корабельная гидроакустическая техника: состояние и актуальные проблемы, РФ, Санкт-Петербург, Наука, 2004, 410 с.
3. D. Gingrass
J. Acoust. Soc. Am., 1989, **86**, 1940.
DOI: 10.1109/MDSP.1989.97041.
4. А.Г. Сазонтов, А.И. Малеханов
Акустический журнал, 2015, **61**(2), 233.
DOI: 10.7X68/S0320791915020124.
5. С.А. Переселков, В.М. Кузькин
Известия РАН. Серия физическая, 2023, **87**(4), 598.
DOI: 10.31857/S036767652270106X.
6. С.А. Переселков, В.М. Кузькин
Голографическая обработка широкополосных гидроакустических сигналов, РФ, Воронеж, Издательский дом ВГУ, 2023, 183 с.
7. Ю.В. Матвиенко, В.В. Костенко, В.А. Гой, Ю.А. Хворостов
Пат. РФ, 2664971, 2018.
8. В.А. Гордиенко
Векторно-фазовые методы в акустике, РФ, Москва, Физматлит, 2007, 480 с.
9. М.И. Вашкевич, И.С. Азаров
Цифровая обработка сигналов, 2020, №2, 13.

10. Л.М. Бреховских, Ю.П. Лысанов
Теоретические основы акустики океана, СССР, Ленинград, Гидрометеиздат, 1982, 264 с.
11. Ю.А. Хворостов, Ю.В. Матвиенко, В.М. Кузькин, С.А. Пересёлков, С.А. Ткаченко
Подводные исследования и робототехника, 2022, №4(42), 84. DOI: 10.37102/1992-4429_2022_42_04_08.
12. А.И. Белов, Г.Н. Кузнецов
Акустический журнал, 2014, 60(2), 190. DOI: 10.7868/S0320791914010055.
13. J. Bonnel, N.R. Chapman
J. Acoust. Soc. Am., 2011, 130, EL101. DOI: 10.1121/1.3611395.
14. J.R. Apel, M. Badiey, C.-S. Chiu, S. Finette, R.H. Headrick, J. Kemp, J.F. Lynch, A.E. Newhall, M.H. Orr, V.H. Pasewark, D. Tielburger, A. Turgut, K. von der Heydt, S.N. Wolf
IEEE J. Ocean. Eng., 1997, 22, 465. DOI: 10.1109/48.611138.
15. Ю.В. Матвиенко, Ю.А. Хворостов, А.В. Каморный, М.Ю. Глуценко, В.М. Кузькин, С.А. Пересёлков
Подводные исследования и робототехника, 2022, №3(41), 4. DOI: 10.37102/1992-4429_2022_41_03_01.

English

Robotic Complex for Detection and Localization of Underwater Noise Sources*

Sergey A. Pereselkov

Professor,
Voronezh State University
1 Universitetskaya Sqr., Voronezh, 394018, Russia
pereselkov@yandex.ru

Yuri V. Matvienko

Institute of Marine Technology Problems, FEB RAS
5a Sukhanova Str., Vladivostok, 690091, Russia
ymat33@yandex.ru

Venedikt M. Kuz'kin

Prokhorov General Physics Institute, RAS
38 Vavilov Str., Moscow, 119991, Russia
kumiov@yandex.ru

Abstract

Methods for holographic processing of noise signals have been developed for the detection and localization of small-sized underwater unmanned vehicles (UVs) with a low level of noise emission. A technique has been proposed for using autonomous uninhabited underwater vehicles (AUVs) with small-sized vector-scalar receiver (VSR) antennas on board to monitor the underwater environment. The appearances of the AUV-transport and AUV-carrier with a small-sized VSR antenna were created. Computational and full-scale experiments were performed, and holographic processing of experimental data was carried out. A new concept for constructing a robotic system for monitoring the underwater environment based on holographic processing is proposed. Prospects for the development of holographic processing for hydroacoustic signals are outlined.

Keywords: AUV, holographic processing, VSR, detection, localization, antennae, UV.

*The work was financially supported by RFBR (project 19-29-06075).

Images & Tables

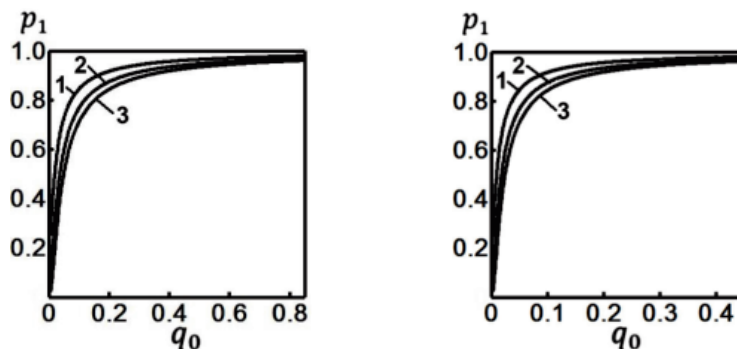


Fig. 1. Dependence of the probability of correct detection p_1 on the input ratio signal/interference q_0 for different values of the probability of false alarm p_2 ; a – $J=10$; b – $J=20$. Curve 1 – $p_2=10^{-1}$, curve 2 – $p_2=10^{-2}$, curve 3 – $p_2=10^{-3}$. Concentration coefficient $\gamma=7$ [5].

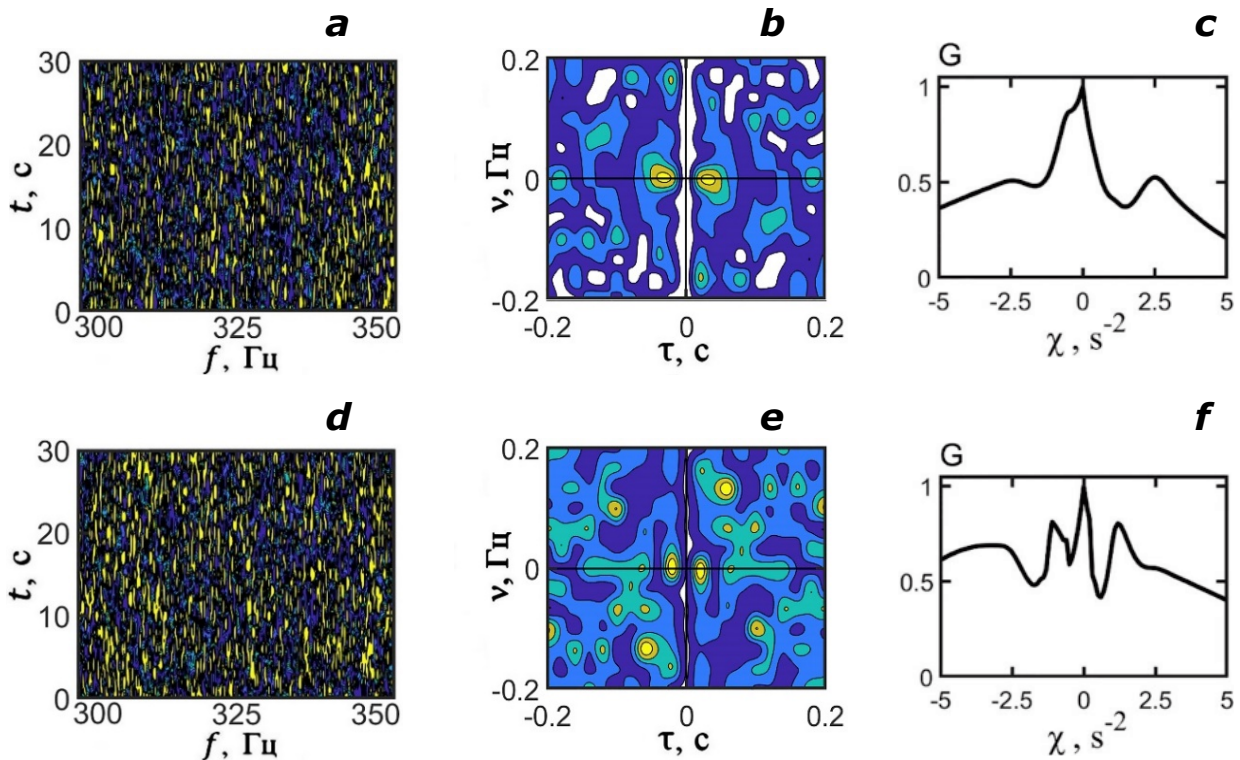


Fig. 2. Normalized interferograms (a, d), holograms (b, e) and detection functions (c, f). Distances: (a, b, c) – 11.0 km, (d, e, f) – 11.5 km [5].

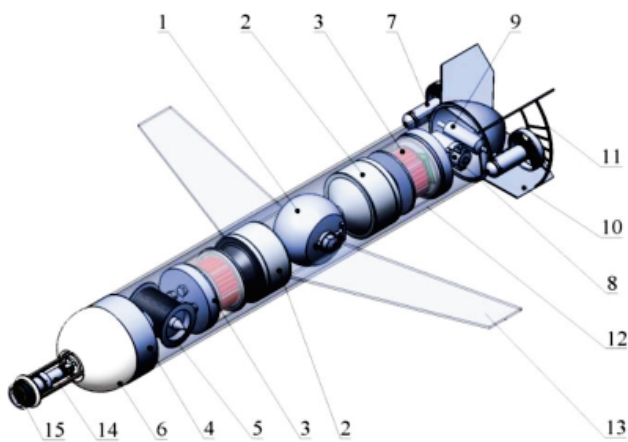


Fig. 3. The design of the hybrid AUV for monitoring the underwater situation: 1 – system for regulating the moment of stability; 2 – buoyancy control system; 3 – electronics and battery unit; 4 – catcher of the produced VSR module; 5 – device for issuing/receiving the VSR module; 6 – the VSR module; 7 – main engine; 8 – control unit for the rotation drive of the main engines; 9 – drive of rotation of main engines; 10 – stabilizer; 11 – protection of engines; 12 – fairing frame of the device; 13 – wing; 14 – radio communication antennas; 15 – satellite navigation system receiver.

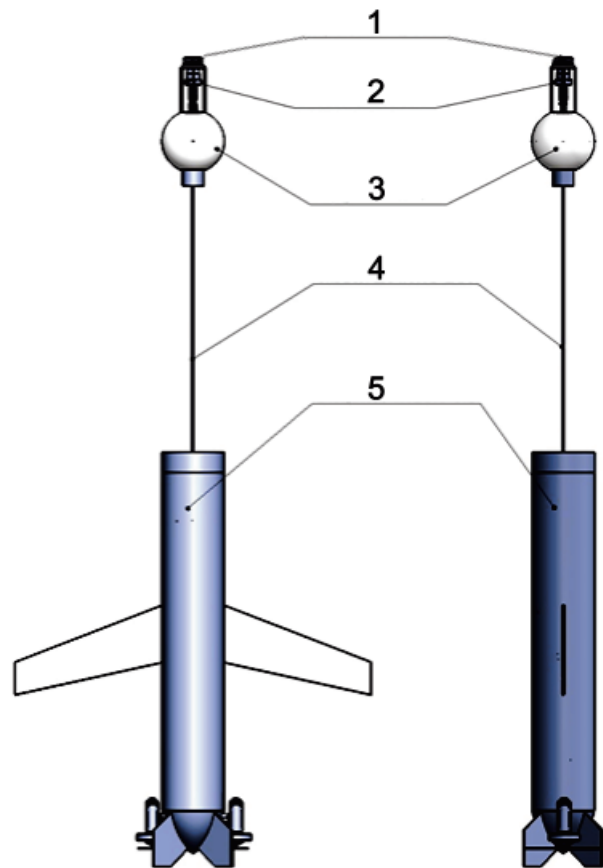


Fig. 4. The design of a hybrid UAV in receiving station mode: 1 – satellite navigation system receiver; 2 – radio communication antennas; 3 – pop-up VSR module; 4 – VSR communication cable; 5 – hybrid UAV.

Table 1. Approximate technical characteristics of a hybrid AUV

Specifications	Value
Weight in air, no more than, kg	100
Dimensions, no more than: length×width×height, m	2.3×1.7×0.4
Maximum working depth, m	500
Energy intensity of the energy supply system, W·h	2·10 ²⁴
Maximum speed in AUV mode, not less than, m/s	2.0
Autonomy in AUV mode at maximum speed, not less than, km	10
Vertical movement speed in receiving station mode, m/s	0.01–0.03
Maximum speed in glider mode, m/s	0.35
Autonomy in glider mode, not less than, months (total horizontal range – at least 1 500 km)	2

References

- National Security Strategy**, USA, Washington, The White House, 2015, 29 pp. (https://obamawhitehouse.archives.gov/sites/default/files/docs/2015_national_security_strategy_2.pdf).
- Yu.A. Koryakin, S.A. Smirnov, G.V. Yakovlev** *Shipboard Hydroacoustic Equipment: Status and Current Problems [Korabelnaya gidroakusticheskaya tekhnika: sostoyanie i aktualnye problemy]*, RF, Saint Petersburg, Nauka, 2004, 410 pp. (in Russian).
- D. Gingrass** *J. Acoust. Soc. Am.*, 1989, **86**, 1940. DOI: 10.1109/MDSP.1989.97041.
- A.G. Sazontov, A.I. Malekhanov** *Acoustical Physics*, 2015, **61**(2), 213. DOI: 10.1134/S1063771015020128.
- V.M. Kuz'kin, S.A. Pereselkov** *Bulletin of the Russian Academy of Sciences: Physics*, 2023, **87**(5), 518. DOI: 10.3103/S1062873822701581.
- S.A. Pereselkov, V.M. Kuzkin** *Holographic Processing of Broadband Hydroacoustic Signals [Golograficheskaya obrabotka shirokopolosnykh gidroakusticheskikh signalov]*, RF, Voronezh, Voronezh State University Publ. House, 2023, 183 pp. (in Russian).
- Yu.V. Matvienko, V.V. Kostenko, V.A. Goy, Yu.A. Khvorostov** *Pat. RU*, 2664971, 2018 (in Russian).
- V.A. Gordienko** *Vector-Phase Methods in Acoustics [Vektorno-fazovye metody v akustike]*, RF, Moscow, Fizmatlit, 2007, 480 pp. (in Russian).
- M.I. Vashkevich, I.S. Azarov** *Digital Signal Processing [Tsifrovaya obrabotka signalov]*, 2020, №2, 13 (in Russian).
- L.M. Brekhovskikh, Yu.P. Lysanov** *Theoretical Foundations of Ocean Acoustics [Teoreticheskie osnovy akustiki okeana]*, USSR, Leningrad, Hydrometeorological Publ. House, 1982, 264 pp. (in Russian).
- Yu.A. Khvorostov, Yu.V. Matvienko, V.M. Kuz'kin, S.A. Pereselkov, S.A. Tkachenko** *Underwater Investigations and Robotics [Podvodnye issledovaniya i robototekhnika]*, 2022, №4(42), 84 (in Russian). DOI: 10.37102/1992-4429_2022_42_04_08.
- A.I. Belov, G.N. Kuznetsov** *Acoustical Physics*, 2014, **60**(2), 191. DOI: 10.1134/S1063771014010047.
- J. Bonnel, N.R. Chapman** *J. Acoust. Soc. Am.*, 2011, **130**, EL101. DOI: 10.1121/1.3611395.
- J.R. Apel, M. Badiey, C.-S. Chiu, S. Finette, R.H. Headrick, J. Kemp, J.F. Lynch, A.E. Newhall, M.H. Orr, B.H. Pasewark, D. Tielburger, A. Turgut, K. von der Heydt, S.N. Wolf** *IEEE J. Ocean. Eng.*, 1997, **22**, 465. DOI: 10.1109/48.611138.
- Yu.V. Matvienko, Yu.A. Khvorostov, A.V. Kamorny, M.Yu. Glushchenko, V.M. Kuz'kin, S.A. Pereselkov** *Underwater Research and Robotics [Podvodnye issledovaniya i robototekhnika]*, 2022, №3(41), 4 (in Russian). DOI: 10.37102/1992-4429_2022_41_03_01.